

การถ่ายทอด ผลงานความร้อนและมวล

ในอุปกรณ์ด้านความร้อนและกระบวนการ
(ครั้งที่ 15)

ระหว่างวันที่ 30-31 มีนาคม 2559
ณ โรงแรม แอด รีสอร์ท สมุย
จังหวัดสุราษฎร์ธานี

การวิเคราะห์สมรรถนะการทำงานของวัสดุจักรแรงคินสารอินทรีย์ ร่วมกับระบบทำความเย็นแบบดูดกลืน

PERFORMANCE ANALYSIS OF AN ORGANIC RANKINE CYCLE COMBINED WITH AN ABSORPTION CHILLER

Xangpheuak Inthavideth

น้ำพร ไซญาติ

วิทยาลัยพลังงานทดแทน มหาวิทยาลัยแม่โจ้

บทคัดย่อ

งานวิจัยนี้ศึกษาการเพิ่มประสิทธิภาพการทำงานของวัสดุจักรแรงคินสารอินทรีย์ โดยการลดอุณหภูมิสารทำงานที่เครื่องควบแน่นร่วมกับระบบทำความเย็นแบบดูดกลืน เพื่อระบายน้ำร้อนร่วมกับอะไหล่ความร้อนโดยการนำความร้อนทิ้งจากวัสดุจักรแรงคินสารอินทรีย์ที่หม้อต้มมาป้อนให้แก่ระบบทำความเย็นแบบดูดกลืน ซึ่งในงานวิจัยนี้จำลองวัสดุจักรแรงคินสารอินทรีย์ที่ใช้สารทำงาน คือ R-245fa และระบบทำความเย็นแบบดูดกลืนที่ใช้คุณสารทำงานคือน้ำ-ลิเธียมไบโรไมต์ ผลการศึกษาพบว่าประสิทธิภาพของวัสดุจักรแรงคินสารอินทรีย์ก่อนการปรับปรุงมีค่าประมาณ 8% ที่อุณหภูมน้ำร้อนเข้าหม้อต้มในช่วง 90-120 °C สำหรับระบบร่วมของวัสดุจักรแรงคินสารอินทรีย์และระบบทำความเย็นแบบดูดกลืน พบว่า ระบบร่วมต้องการนำร้อนอุณหภูมิสูงกว่า 105 °C เพื่อให้ความร้อนทิ้งที่ออกจากวัสดุจักรแรงคินสารอินทรีย์ สามารถขับเคลื่อนระบบทำความเย็นแบบดูดกลืนได้อย่างมีประสิทธิภาพ ทั้งนี้ระบบร่วมสามารถลดอุณหภูมน้ำหล่อเย็นที่เข้าเครื่องควบแน่นได้ประมาณ 13 °C ส่งผลให้ประสิทธิภาพการทำงานของวัสดุจักรแรงคินสารอินทรีย์หลังการปรับปรุงมีค่าประมาณ 12% หรือเพิ่มขึ้นประมาณ 50% เทียบกับวัสดุจักรแรงคินสารอินทรีย์ก่อนการปรับปรุง

คำสำคัญ: วัสดุจักรแรงคินสารอินทรีย์ระบบทำความเย็นแบบดูดกลืนแบบจำลองทางคณิตศาสตร์

Abstract

This research studies enhancement efficiency of an organic Rankine cycle (ORC) by reducing working fluid temperature at a condenser. An absorption chiller is presented to combine with the ORC system, which the rejected heat at a boiler of the ORC system is recovered and supplied back to the absorption chiller. In simulation process, R-245fa is selected as the ORC working fluid, while the absorption cycle is obtained a water-lithium bromide solution as the working pair. From the study results, it could be found that the normal ORC efficiency is around 8% at hot water temperature entering a boiler between 90-120 °C. In case of the ORC system combined with the absorption chiller, it could be found that the minimum hot water temperature entering the modified system is around 105 °C for operating the ORC and absorption systems. The modified system could reduce the cooling water temperature to be around 13 °C and the ORC efficiency could be increased at around 12%, which increases approximately 50% compared with the normal ORC system.

Keywords: Organic Rankine Cycle, Absorption chiller, Mathematical model

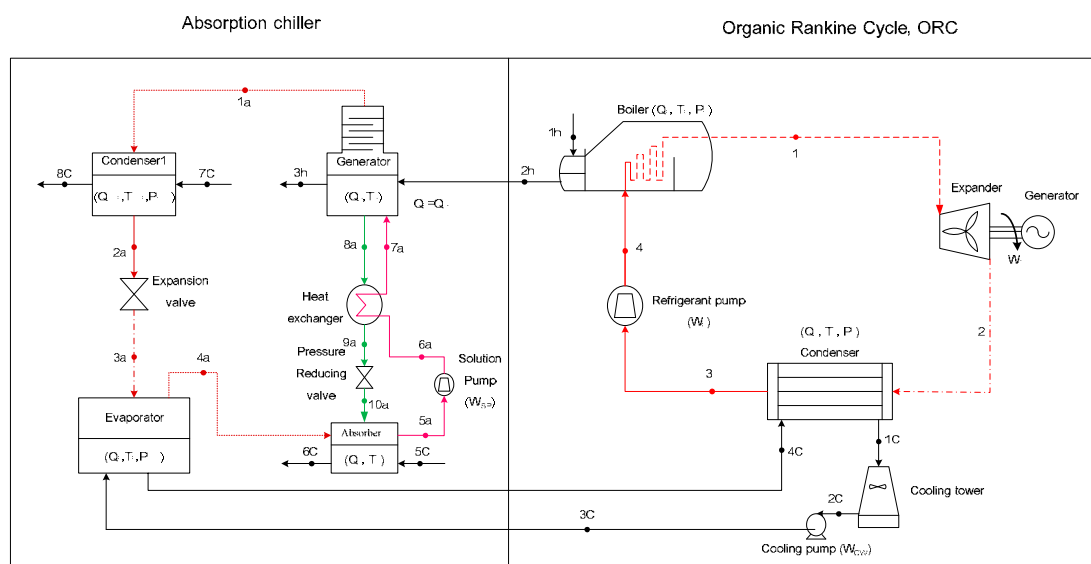
บทนำ

ประเทศไทยนำเข้าพลังงานในปริมาณที่เพิ่มสูงขึ้นอย่างต่อเนื่อง ในปี ค.ศ.2011 นำเข้าพลังงานเพิ่มขึ้น 30.2% เมื่อเปรียบเทียบกับปี ค.ศ.2010 [1] ดังนั้นรัฐบาลได้กำหนดกรอบและพิธีทางนโยบาย พลังงานของประเทศไทยซึ่งมุ่งเน้นไปที่ความมั่นคงด้านพลังงานเพื่อให้มั่นใจว่ามีเสถียรภาพด้านพลังงานสำหรับประเทศไทยโดยการส่งเสริม และพัฒนาพลังงานทดแทนให้เป็น 25% ของการใช้พลังงานทั้งหมด ของประเทศไทยในปี ค.ศ. 2021 ซึ่งวัสดุจักรแรงคินสารอินทรีย์(Organic Rankine Cycle; ORC) เป็นหนึ่งในเทคโนโลยีที่ถูกพัฒนาเพื่อใช้ พลังงานทดแทนผลิตพลังงานไฟฟ้า

งานวิจัยที่เกี่ยวข้องกับวัสดุจักรแรงคินสารอินทรีย์มีดังต่อไปนี้ การใช้แหล่งความร้อนคุณภาพต่ำมาขับเคลื่อนวัสดุจักรแรงคินสารอินทรีย์ [2-4] การนำวัสดุจักรแรงคินสารอินทรีย์มายังร่วมกับพลังงานทดแทน อาทิเช่น พลังงานแสงอาทิตย์ [5] พลังงานความร้อนใต้พิภพ [6] พลังงานชีวมวล [7] นอกจากนี้ยังมีการนำความร้อนทึ้งกลับมาใช้งาน โดยวัสดุจักรแรงคินสารอินทรีย์ของระบบผลิตพลังงานร่วม (Combine heating and power, CHP) อีกด้วย[8-10] Brophy [12] Kose[13] และ Dagdas[14] วิเคราะห์ผลกระทบด้านสิ่งแวดล้อมจากการผลิตพลังงาน

ไฟฟ้าด้วยวัสดุจักรแรงคินสารอินทรีย์ นอกจากนี้การสร้างแบบจำลอง ทางคณิตศาสตร์ เป็นอีกหนึ่งแนวทางที่ได้รับความสนใจกันอย่างแพร่หลายในปัจจุบันอาทิเช่น การเลือกการทำงานที่เหมาะสม สำหรับวัสดุจักรแรงคินสารอินทรีย์โดยผลการศึกษาส่วนมาก พบว่า สารทำงานที่เหมาะสมที่สุดของการศึกษาเหล่านี้ คือ R-134a และ R-245fa[15-22] สำหรับการปรับปรุงประสิทธิภาพของสำหรับวัสดุจักร แรงคินสารอินทรีย์ Chaiyat and Kiatsiriroat [23] นำเสนองานเพิ่มประสิทธิภาพของวัสดุจักรแรงคินสารอินทรีย์ร่วมกับระบบทำความเย็นแบบดูดกลืน (Absorption chiller) โดยใช้สมการสมรรถนะของระบบ ทั้งสองที่ได้จากการทดสอบ ผลที่ได้พบว่า ประสิทธิภาพของวัสดุจักร แรงคินสารอินทรีย์เพิ่มขึ้นประมาณ 7%

จากการศึกษาข้างต้น พบว่ายังไม่มีงานวิจัยใดนำเสนอสมรรถนะ การทำงานร่วมของวัสดุจักรแรงคินสารอินทรีย์และระบบทำความเย็นแบบดูดกลืน เพื่อลดอุณหภูมิการทำงานที่เครื่องควบแน่น(Condenser) ของวัสดุจักรแรงคินสารอินทรีย์ดังนั้นงานวิจัยนี้จึงมีวัตถุประสงค์ที่มุ่ง ศึกษาการเพิ่มประสิทธิภาพการทำงานของวัสดุจักรแรงคินสารอินทรีย์ โดยการลดอุณหภูมิการทำงานที่เครื่องควบแน่นร่วมกับระบบทำความเย็นแบบดูดกลืน ดังแสดงในรูปที่ 1



รูปที่ 1 แผนภาพการทำงานร่วมของวัสดุจักรแรงคินสารอินทรีย์และระบบการทำความเย็นดูดกลืน

ทฤษฎี

ทฤษฎีที่เกี่ยวข้องกับงานวิจัยประกอบไปด้วย 3 ทฤษฎีคือวัสดุจักรโน๊ต (Carnot cycle) วัสดุจักรแรงคินสารอินทรีย์ และระบบทำความเย็นแบบดูดกลืน โดยรายละเอียดของหัวข้อต่างๆ ดังกล่าวมีดังต่อไปนี้

ก. วัสดุจักรคาร์โนํต

ประสิทธิภาพทางความร้อนสูงสุดของระบบด้านความร้อนสามารถอธิบายได้ด้วยประสิทธิภาพคาร์โนํต (η_{Carnot}) ซึ่งเป็นประสิทธิภาพทางอุดมคติไม่สามารถทำได้จริง โดยวัสดุจักรคาร์โนํต

สามารถย้อนกลับได้ ประสิทธิภาพคาร์โนํตสามารถคำนวณได้จาก สมการดังต่อไปนี้[24]

$$\eta_{\text{Carnot}} = \frac{T_H - T_L}{T_H} = 1 - \frac{T_L}{T_H} \quad \text{สมการที่ 1}$$

ข. วัสดุจักรแรงคินสารอินทรีย์

วัสดุจักรแรงคินสารอินทรีย์เป็นระบบการทำงานที่ใช้หลักการของ ระบบแรงคิน (Rankine cycle) แต่ใช้สารทำงานในกลุ่มสารอินทรีย์ (Organic) ที่มีมวลโมเลกุลสูงสามารถเปลี่ยนสถานะจากของเหลวเป็น ไอที่อุณหภูมิต่ำหรือมีจุดเดือดต่ำ (Boiling point) เมื่อเปรียบเทียบกับ จุดเดือดของน้ำที่ใช้เป็นสารทำงานในระบบแรงคินทั่วไปทำให้วัสดุจักร



แรงคินสารอินทรีย์สามารถผลิตกระแสไฟฟ้าได้โดยใช้ความร้อนอุณหภูมิต่ำ (น้อยกว่า 100 °C)[24]

วัฏจักรแรงคินสารอินทรีดังแสดงในรูปที่ 1 มีหลักการทำงาน คือ ของไอล์ฟผ่านกระบวนการควบแน่นสมบูรณ์ในเครื่องควบแน่น จะควบแน่นเป็นของเหลวอิ่มตัว (จุดที่ 3) และของไพลจะถูกอัดตัวโดยปั๊ม (Pump) ภายใต้กระบวนการไอเซนทรโปลิก จนกระทั่งมีความดันสูงขึ้น ($P_{H,AB}$) (จุดที่ 4) ภายในหม้อต้ม (Boiler) จากนั้นของเหลวจะถูกให้ความร้อนภายใต้ความดันคงที่ และกลายเป็นไออกอนยาดยิ่ง (จุดที่ 1) ในที่สุด ไออกอนยาดยิ่งจะเข้าสู่กังหัน (Turbine) ขยายตัวแบบไอเซนทรโปลิก และผลิตงานโดยการขับเพลาที่ต่อเข้ากับเครื่องกำเนิดไฟฟ้า (Generator) ทำให้ความดันและอุณหภูมิของไออกอนยาดลง ($P_{L,AB}$) (จุดที่ 2) ที่ทางออกของกังหันชี้อยู่ในสถานะของผสม (ไออกและของเหลว) จากนั้นจะไอล์ฟไปความแน่นยังเครื่องควบแน่นภายใต้ความดันคงที่ กลายเป็นของเหลวอิ่มตัวที่สภาวะ (3) อีกครั้ง

จากรูปที่ 1 สมการทางคณิตศาสตร์ของวัฏจักรแรงคินสารอินทรี พิจารณาที่สภาวะคงตัว (Steady state steady flow, SSSF) สามารถแสดงได้ดังสมการต่อไปนี้

$$Q_B = \dot{m}_{ref}(h_1 - h_4) \quad \text{สมการที่ 2}$$

$$Q_C = \dot{m}_{ref}(h_2 - h_3) \quad \text{สมการที่ 3}$$

$$W_P = \dot{m}_{ref}(h_4 - h_3) \quad \text{สมการที่ 4}$$

$$W_{Tur} = \dot{m}_{ref}(h_1 - h_2) \quad \text{สมการที่ 5}$$

$$\eta_{ORC} = \frac{W_{net}}{Q_B} \quad \text{สมการที่ 6}$$

$$W_{net} = W_{Tur} - W_P - W_{CW} \quad \text{สมการที่ 7}$$

ค. ระบบทำความเย็นแบบดูดกลืน

ระบบทำความเย็นแบบดูดกลืนดังแสดงในรูปที่ 1 มีหลักการทำงานดังนี้ คือ ความร้อนอุณหภูมิสูงเข้าสู่เจนเนอเรเตอร์(Generator) เพื่อถ่ายเทความร้อนให้แก่สารละลาย จากนั้นสารทำงาน (Absorbate) ที่มีอุ่นเดือดต่ำกว่าสารดูดกลืน (Absorbent) จะระเหยกลายเป็นไออกและไอล์ฟจากเจนเนอเรเตอร์ที่ความดันสูง ไออกทำงานที่ออกจากเจนเนอเรเตอร์ (จุดที่ 1a) ไอล์ฟไปยังเครื่องควบแน่น (Condenser1) และควบแน่นกลายเป็นสารทำงานสถานะของเหลว (จุดที่ 2a) ที่ความดันสูง จากนั้นจะไอล์ฟผ่านวาล์วลดความดัน(Expansion valve) เพื่อลดความดัน (จุดที่ 3a) เข้าไปในเครื่องระเหย (Evaporator) ซึ่งสารทำงานจะรับความร้อนจากของไอล์ฟ (จุดที่ 4a) ที่ความดันต่ำ แล้วไอล์ฟไปยังแอบซอร์บเบอร์ (Absorber) สารทำงานสถานะไอล์ฟกล่าวจะถูกดูดกลืนรวมกับสารละลายความเข้มข้นต่ำ (ความเข้มข้นสารทำงาน) ที่กลับมาจากอุปกรณ์แลกเปลี่ยนความร้อน(Heat exchanger) ทำให้กลายเป็นสารละลายความเข้มข้นสูง (จุดที่ 5a) สารละลายดังกล่าวจะถูกส่งไปยังเจนเนอเรเตอร์ด้วยปั๊มสารละลาย (Solution pump) ผ่านอุปกรณ์แลกเปลี่ยนความร้อน (จุดที่ 6a) และภายในเจนเนอเรเตอร์เนื่องจากสารทำงานในสารละลายระเหยลายเป็นไอกาให้เหลือสารละลายความเข้มข้นต่ำ ซึ่งสารละลายดังกล่าวจะถูกส่งกลับมา�ังแอบซอร์บเบอร์ (จุดที่ 8a) โดยถ่ายเทความร้อนให้กับสารละลายความเข้มข้นสูงในอุปกรณ์แลกเปลี่ยนความร้อน (จุดที่ 9a) จากนั้นจะ

ผ่านวาล์วลดความดัน (Pressure reducing valve) (จุดที่ 10a) และไอล์ฟเข้าไปยังแอบซอร์บเบอร์เพื่อดูดกลืนไออกทำงานต่อไป[24]

จากรูปที่ 1 สมการทางคณิตศาสตร์ของระบบทำความเย็นแบบดูดกลืน สามารถแสดงได้ดังต่อไปนี้

$$Q_G = \dot{m}_{1a} h_{1a} + \dot{m}_{8a} h_{8a} - \dot{m}_{7a} h_{7a} \quad \text{สมการที่ 8}$$

$$Q_{C,AB} = \dot{m}_{1a} h_{1a} - \dot{m}_{2a} h_{2a} \quad \text{สมการที่ 9}$$

$$Q_E = \dot{m}_{4a} h_{4a} - \dot{m}_{3a} h_{3a} \quad \text{สมการที่ 10}$$

$$Q_A = \dot{m}_{4a} h_{4a} + \dot{m}_{10a} h_{10a} - \dot{m}_{5a} h_{5a} \quad \text{สมการที่ 11}$$

$$W_{SP} = (P_{H,AB} - P_{L,AB}) \frac{V_{5a} \dot{m}_{5a}}{\eta_{SP}} \quad \text{สมการที่ 12}$$

$$Q_{HX} = \dot{m}_{8a} C_p h_{8a} (T_{8a} - T_{9a}) = \dot{m}_{6a} C_p h_{6a} (T_{7a} - T_{6a}) \quad \text{สมการที่ 13}$$

$$COP_{AB} = \frac{Q_E}{Q_G + W_{SP}} \quad \text{สมการที่ 14}$$

ดังนั้นการทำงานร่วมของวัฏจักรแรงคินสารอินทรีและระบบทำความเย็นแบบดูดกลืน สามารถประเมินประสิทธิภาพการทำงานของระบบบริ่ง ได้ดังต่อไปนี้

$$\eta_{ORC-AB} = \frac{W_{net}}{Q_B} \quad \text{สมการที่ 15}$$

$$W_{net} = W_{Tur} - W_P - W_{SP} - W_{CW} \quad \text{สมการที่ 16}$$

วิธีการดำเนินงาน

วิธีการดำเนินงานวิจัยมีรายละเอียดในแต่ละขั้นตอนดังต่อไปนี้

- ศึกษางานวิจัยต่างๆ ที่เกี่ยวข้องกับวัฏจักรแรงคินสารอินทรีและระบบทำความเย็นแบบดูดกลืน
- สร้างแบบจำลองทางคณิตศาสตร์ของวัฏจักรแรงคินสารอินทรี และระบบทำความเย็นแบบดูดกลืน
- วิเคราะห์การทำงานของวัฏจักรแรงคินสารอินทรี โดยมีเงื่อนไขเริ่มต้นการทำงานจากการจำลองระบบดังต่อไปนี้
 - สารทำงานที่ใช้กับระบบคือ R-245fa
 - ปริมาณความร้อนที่หม้อต้ม (Q_B) คือ 200kW
 - อุณหภูมินำร้อนที่เข้าวัฏจักรแรงคินสารอินทรี (T_{1h}) คือ 90-120 °C
 - ผลต่างอุณหภูมินำร้อนที่ให้ความร้อนกับสารทำงานที่หม้อต้ม ($T_{2h} - T_B$) เท่ากับ 3 °C
 - ผลต่างอุณหภูมินำร้อนที่เข้าและออกหม้อต้ม ($T_{1h} - T_{2h}$) เท่ากับ 15 °C
 - อุณหภูมินำห้องอีนเข้าเครื่องควบแน่น ($T_{3C} = T_{4C}$) เท่ากับ 32 °C
 - ผลต่างอุณหภูมินำห้องอีนเข้าและออกเครื่องควบแน่น ($T_{1C} - T_{4C}$) เท่ากับ 5 °C
 - ผลต่างอุณหภูมินำรับน้ำร้อนกับสารทำงานที่เครื่องควบแน่น ($T_C - T_{1C}$) เท่ากับ 3 °C
- วิเคราะห์การทำงานของระบบทำความเย็นแบบดูดกลืนมีรายละเอียดของเงื่อนไขเริ่มต้นการจำลองระบบดังต่อไปนี้
 - คุณสมบัติที่ใช้กับระบบ คือ H₂O-Libr

- ปริมาณความร้อนที่เครื่องเจนเนอเรเตอร์ ($Q_G = Q_B$) คือ 200 kW
 - อุณหภูมิน้ำร้อนที่เข้าระบบทำความเย็นแบบดูดกลืน (T_{2h}) คือ $75\text{--}105^\circ\text{C}$
 - ผลต่างอุณหภูมิน้ำร้อนกับสารทำงานที่เจนเนอเรเตอร์ ($T_{3h} - T_G$) เท่ากับ 3°C
 - ผลต่างอุณหภูมิน้ำหล่อเย็นระหว่างความร้อนกับสารทำงานที่เครื่องความแน่น ($T_{C,AB} - T_{8C}$) เท่ากับ 3°C
 - ผลต่างอุณหภูมิน้ำหล่อเย็นระหว่างความร้อนกับสารทำงานที่แบบซอร์ฟเบอร์ ($T_A - T_{8C}$) เท่ากับ 3°C
 - ผลต่างอุณหภูมิน้ำเย็นกับสารทำงานที่เครื่องระเหย ($T_{4C} - T_E$) เท่ากับ 3°C
 - อุณหภูมิน้ำเย็นที่ออกจากเครื่องระเหย (T_{4C}) เท่ากับ $2\text{--}32^\circ\text{C}$
 - ผลต่างอุณหภูมิน้ำเข้าและออกที่เครื่องความแน่นแบบซอร์ฟเบอร์ เครื่องระเหยและเจนเนอเรเตอร์เท่ากับ 5°C

5. วิเคราะห์และสรุปผลการจำลองการทำงานของวัสดุจักรแรงคินสารอินทรีก่อนและหลังการปรังปรุง

ผลและการอภิปรายผล

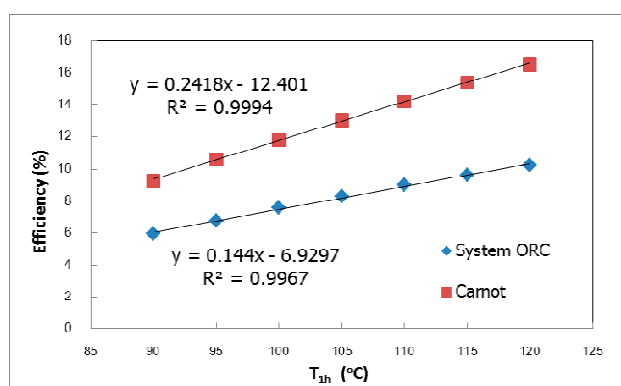
ก. สมรรถนะการทำงานของวิจัยการแรงดึงดันสารอินทรีย์

รูปที่ 2แสดงความสัมพันธ์ระหว่างประสิทธิภาพของวัสดุจัดแรงคิดสารอินทรีย์กับอุณหภูมิน้ำร้อนที่เข้ามือต้ม(T_{th})ในช่วง90-120 °Cผลที่ได้พบว่าเมื่ออุณหภูมิน้ำร้อนเข้าที่หม้อต้มเพิ่มขึ้นทำให้ประสิทธิภาพการทำงานของวัสดุจัดแรงคิดสารอินทรีย์เพิ่มขึ้นตามไปด้วยเชิงสอดคล้องกับวัสดุจัดแรงคิดสารอินทรีย์ที่กล่าวว่าประสิทธิภาพของระบบการทำงานจะเพิ่มขึ้นเมื่อผลิต่างอุณหภูมิของแหล่งความร้อน(Heat source) และแหล่งระบายความร้อน(Heat sink) เพิ่มขึ้นและเมื่อนำประสิทธิภาพของวัสดุจัดแรงคิดสารอินทรีย์เปรียบเทียบกับประสิทธิภาพของวัสดุจัดแรงคิดสารอินทรีย์มีค่าต่ำกว่าประสิทธิภาพการจัดแรงคิดสารอินทรีย์ประมาณ3%

รูปที่ 2 ยังพบอีกว่า อุณหภูมิน้ำร้อนที่เข้าห้องมีตั้ม (T_{1h}) มีความสัมพันธ์กับประสิทธิภาพการทำงานของระบบ ในรูปแบบสมการเส้นตรง ดังแสดงในสมการต่อไปนี้

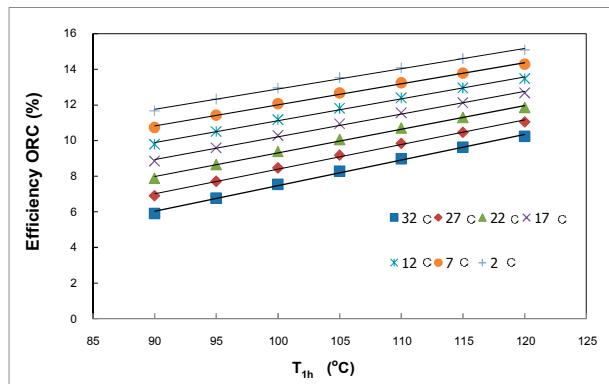
$$\eta_{\text{OBC}} = 0.144(T_{1h}) - 6.9297$$

สมการที่ 17



รูปที่ 2 แบบจำลองอย่างง่ายของระบบ ORC

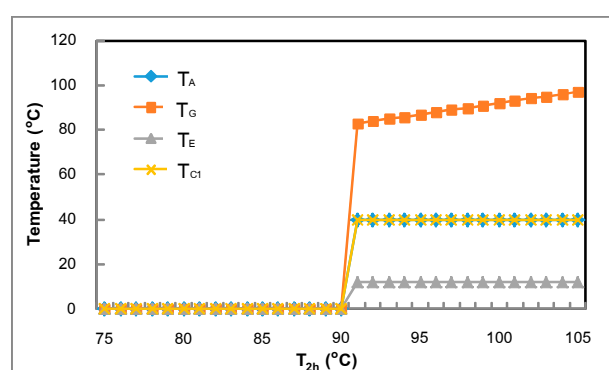
รูปที่ 3แสดงการเปลี่ยนแปลงอุณหภูมิน้ำหล่อเย็นในช่วง 2-32 °C ที่มีผลต่อประสิทธิภาพการทำงานของวัสดุจัดแรงคินสารอินทรีย์ และกำหนดให้อุณหภูมิน้ำร้อนเข้าหม้อต้มอยู่ในช่วง 90-120 °C ผลที่ได้พบว่า อุณหภูมิน้ำหล่อเย็นเข้าเครื่องควบแน่นลดลง มีผลทำให้ประสิทธิภาพการทำงานของวัสดุจัดแรงคินสารอินทรีย์สูงขึ้น ซึ่งสอดคล้องกับหลักการโน็ตที่ว่าประสิทธิภาพการทำงานของระบบจะเพิ่มขึ้นเมื่อผลิต่างอุณหภูมิที่ของเหลวความร้อนและเหลวระบายน้ำร้อนเพิ่มขึ้น



รูปที่ 3 ประสิทธิภาพของวัฏจักรแรงคิดสารอินทรีย์ที่เปลี่ยนแปรตาม
อัตราหมุน

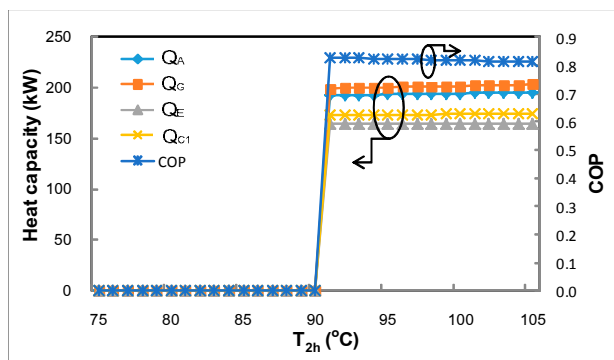
ข. สมรรถนะการทำงานของวัสดุจัดเรียงคินสารอินทรีย์ร่วมกับระบบทำความเย็นแบบดูดกลืน

รูปที่ 4แสดงความสัมพันธ์ระหว่างอุณหภูมิน้ำร้อนเข้าเจนเนอเรเตอร์(T_{2h}) กับอุณหภูมิสารทำงานของระบบทำความเย็นแบบคูลเกลิน โดยผลที่ได้พบว่า อุณหภูมิน้ำร้อนมีผลโดยตรงต่ออุณหภูมิสารทำงานที่เจนเนอเรเตอร์ (T_G) ในขณะที่อุณหภูมิสารทำงานที่แอบซอฟเวอร์ เครื่องระบาย และเครื่องควบคุมแม่น้ำค้างที่ นอกจากนี้ยังพบอีกว่า ระบบทำความเย็นแบบคูลเกลินสามารถเริ่มทำงานได้ที่อุณหภูมน้ำร้อน ประมาณ 91°C หรือน้ำร้อนเข้าสู่วัสดุจักรแรงคินสารอินทรีย์ประมาณ 105°C จึงทำให้ระบบทั้งสองสามารถทำงานร่วมกันได้อย่างมีประสิทธิภาพทั้งนี้ระบบทำความเย็นแบบคูลเกลินทำงานภายใต้เงื่อนไข คือ ความเข้มข้นด้านสูงและต่ำของสารละลาย $\text{H}_2\text{O-Libr}$ คือ 53.6 และ 58.6 % ibr ตามลำดับ。



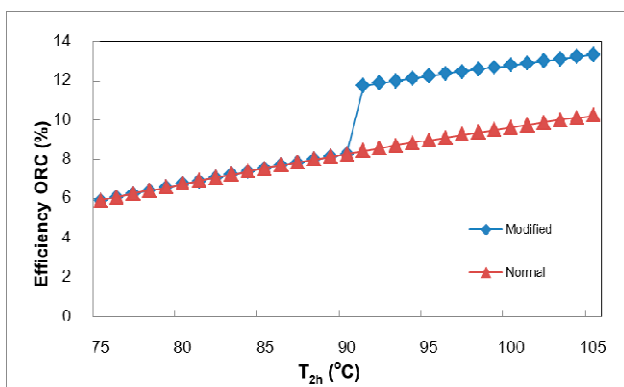
รูปที่ 4 แผนภูมิสารทำงานของระบบทำความเย็นแบบดูดกลืน

รูปที่ 5แสดงความความสัมพันธ์ระหว่างอุณหภูมิน้ำร้อนเข้าระบบ ทำความเย็นแบบดูดกลืนที่มีผลต่ออัตราการถ่ายเทขายความร้อนและค่าสัมประสิทธิ์สมรรถนะของระบบทำความเย็นแบบดูดกลืน ผลการศึกษาพบว่า อุณหภูมน้ำร้อนมีผลโดยตรงต่ออัตราการถ่ายเทขายความร้อนของอุปกรณ์ในระบบค่อนข้างน้อย ซึ่งอัตราการถ่ายเทขายความร้อนมีค่าค่อนข้างคงที่ และส่งผลให้ค่าสัมประสิทธิ์สมรรถนะของระบบทำความเย็นแบบดูดกลืนมีค่าเกือบคงที่ประมาณ 0.8 ตามไปด้วย



รูปที่ 5อัดตราความร้อนของระบบทำความเย็นแบบดูดกลืน

รูปที่ 6แสดงถึงการเปรียบเทียบระหว่างประสิทธิภาพการทำงานของวัฏจักรแรงคินสารอินทรีย์ก่อนและหลังการปรับปรุง ผลการคำนวณพบว่า ระบบร่วมของวัฏจักรแรงคินสารอินทรีย์และระบบทำความเย็นแบบดูดกลืนมีประสิทธิภาพการทำงานประมาณ 12%สูงกว่าระบบก่อนปรับปรุงที่มีค่าประมาณ 8% หรือเพิ่มขึ้นประมาณ 50% เมื่อเทียบกับระบบก่อนการปรับปรุง โดยอุณหภูมน้ำร้อนขายความร้อนเข้าเครื่องความแน่นของของวัฏจักรแรงคินสารอินทรีย์หลังการปรับปรุงมีค่าประมาณ 13 °C ในขณะที่ระบบก่อนการปรับปรุงมีอุณหภูมน้ำร้อนขายความร้อนที่ประมาณ 32 °C



รูปที่ 6การเปรียบเทียบประสิทธิภาพของวัฏจักรแรงคินสารอินทรีย์ก่อนและหลังการปรับปรุง

สรุปผลการศึกษา

จากการจำลองวัฏจักรแรงคินสารอินทรีย์ขนาด 20 kW_e ที่ใช้สารทำงาน คือ R-245fa ทำงานร่วมกับระบบทำความเย็นแบบดูดกลืนที่ใช้คู่การทำงาน คือ H₂O-Librสามารถสรุปผลได้ดังต่อไปนี้

- ประสิทธิภาพการทำงานของวัฏจักรแรงคินสารอินทรีย์ก่อนการปรับปรุงเท่ากับ 8% ที่น้ำร้อนเข้าหม้อต้มในช่วง 90-120 °C

- ประสิทธิภาพการทำงานของวัฏจักรแรงคินสารอินทรีย์หลังการปรับปรุง โดยทำงานร่วมกับระบบทำความเย็นแบบดูดกลืน มีค่าประมาณ 12%
- ประสิทธิภาพการทำงานของระบบหลังการปรับปรุงเพิ่มขึ้นประมาณ 50% เมื่อเทียบกับระบบก่อนการปรับปรุง
- ระบบร่วมต้องป้อนน้ำร้อนอุณหภูมิสูงกว่า 105 °C เพื่อให้น้ำร้อนที่ป้อนให้แก่ระบบทำความเย็นแบบดูดกลืนสูงกว่า 91 °C และสามารถทำงานได้ภายใต้เงื่อนไข ความเข้มข้นด้านสูงและต่ำของสารละลาย H₂O-Libr ในระบบทำความเย็นแบบดูดกลืน คือ 53.6 และ 58.6 %Librตามลำดับ
- ระบบร่วมมีอุณหภูมน้ำหล่อเย็นที่เข้าเครื่องควบแน่นของวัฏจักรแรงคินสารอินทรีย์ที่ประมาณ 13 °C

กิตติกรรมประกาศ

ขอขอบคุณ วิทยาลัยพลังงานทดแทน มหาวิทยาลัยแม่โจ้ภายใต้ “โครงการผลิตและพัฒนาศักยภาพบัณฑิตทางด้านพลังงานทดแทน ในกลุ่มประเทศอาเซียนสำหรับนักศึกษาสาขาดับบลันทิตศึกษา” และสำนักงานคณะกรรมการวิจัยแห่งชาติ ภายใต้ แผนงานพลังงานทดแทนภายใต้โครงการความร่วมมือระหว่างไทย-จีน ๒๕๕๘ ที่ให้ทุนสนับสนุนการวิจัย

อ้างอิง

- [1] Energy Policy and Planning Office (EPPO), “Annual year final report”, 2010.
- [2] Yamada N, Tominaga Y, Yoshioka T, Demonstration of 10-W_p micro organic Rankine cycle generator for low-grade heat recovery. *Energy*, 2014, 78, 806 – 13.
- [3] Li J, Pei G, Li Y, Wang D, Ji J. Energetic and exergetic investigation of an organic Rankine cycle at different heat source temperature. *Energy*, 2012, 38, 85 – 95.
- [4] Tchanche BF, Lambrinos Gr, Frangoudakis A, Papadakis G. Low grade heat conversion into power using organic Rankine cycle – a review of various applications. *Renew Sustain Energy Rev*, 2011, 15, 3963 – 79.
- [5] Wang M, Wang J, Zhao Y, Zhao P, Dai Y. Thermodynamic analysis and optimization of a solar-driven regenerative organic Rankine cycle (ORC) based on flat-plate solar collector. *Appl Therm Eng*. 2013, 50, 816 – 25.
- [6] Franco A. Power production from a moderate temperature geothermal resource with regenerative organic Rankine cycle. *Energy Sustain Dev*. 2011, 15, 411 – 9.
- [7] Al-Slulaiman F, Dincer I, Humdullahpur F. Energy and exergy analysis of a biomass trigeneration system using an organic Rankine cycle. *Energy*, 2012, 45, 411 – 85
- [8] Tempesti D, Fiaschi D. Thermo-economic assessment of a micro CHP system fuelled by geothermal and solar energy. *Energy*, 2013, 58, 45 – 51



- [9] Zhang YQ, Wu YT, Xia GD, Ma CF, Ji WN, Liu SW, Yang K, Yang FB. Development and experimental study on organic Rankine cycle system with single-screw expander for waste heat recovery from exhaust of diesel engine. *Energy*, 2014, 77, 499 – 508.
- [10] Khatita MA, Ahmed TS, Ashour FH, Ismail IM. Power generation using waste heat recovery by organic Rankine cycle in oil and gas sector in Egypt: a case study. *Energy*, 2014, 64, 462 – 72.
- [11] Campana F, Bianchi M, Branchini L, Pascale AD, Peretto A, Baresi M, Fermi A, Rossetti N, Vescovo R. ORC waste heat recovery in European energy intensive industries: energy and GHG savings. *Energy Convers Manag*, 2013, 76, 244 – 52.
- [12] Brophy P. Environmental advantages to the utilization of geothermal energy. *Renewable Energy*, 1997, 10, 367- 377,
- [13] Kose R. Research on the generation of electricity from the geothermal resources in Simav region Turkey. *Renewable Energy*, 2005, 30, 67-79.
- [14] Dagdas A. Heat exchanger optimization for geothermal district heating systems: A fuel saving approach. *Renewable Energy*, 2007, 32, 1020-1032.
- [15] Hettiarachchi H.D.M, Golubovica M, Worek W.M, Ikegami Y. Optimum design criteria for an Organic Rankine Cycle using low-temperature geothermal heat sources, *Energy*, 2007, 32, 1698-1706.
- [16] Schuster A, Karella S, Karl J. Simulation of an innovative stand-alone solar desalination system with an Organic Rankine Cycle In: the 46th Conference on Simulation and Modeling. *Trondheim, Norway, October*, 2005, 13-14.
- [17] Guo T, Wang H.X, Zhang S.J. Fluids and parameters optimization for a novel cogeneration system driven by low-temperature geothermal sources. *Energy*, 2011, 36, 2639-2649.
- [18] Sauret E, Rowlands A.S. Candidate radial-inflow turbines and high-density working fluids for geothermal power systems, *Energy*, 2011, 36, 4460-4467.
- [19] Liu B, Riviore P, Coquelet C, Gicquel G, David F. Investigation of a two stage Rankine cycle for electric power plants. *Applied Energy*, 2012, 100, 285-294.
- [20] Edrisi B.H, Michaelides E.E. Effect of the working fluid on the optimum work of binary-flashing geothermal power plants, *Energy*, 50, 389-394.
- [21] Li T, Zhu J, Zhang W. Comparative analysis of series and parallel geothermal systems combined power, heat and oil recovery in oilfield, *Applied Thermal Engineering*, 2013, 50, 1132-1141.
- [22] Rodriguez C.E.C, Palacio J.E.C, Venturini O.J, Silva L.E.E, Cobas V.M.D, Santos D.M, Dotto F.R.L, Gialluca V. Exergetic and economic comparison of ORC and Kalina cycle for low temperature Antonio Yock,. In: *Proceeding of Seminar on Short Course on Surface Exploration for Geothermal Resources, El Salvador, October 2009*, 17-30.
- [23] Chaiyat N, Kiatsiriroat T. Analysis of combined cooling heating and power generation from organic Rankine cycle and absorption system, *Energy*, 2015, Vol. 91, 363-370.
- [24] นัฐพร ไชยญาติ. การนำความร้อนทิ้งกลับคืน (Waste heat recovery). วิทยาลัยพลังงานทดแทน, มหาวิทยาลัยแม่โจ้, สำนักพิมพ์มหาวิทยาลัยแม่โจ้, พิมพ์ครั้งที่ 1 มกราคม พ.ศ. 2558, 324 หน้า.

รายการสัญลักษณ์

สัญลักษณ์

COP	สัมประสิทธิ์สมรรถนะ
Cp	ความจุความร้อน (kJ/kg·K)
h	エネทัลปี (kJ/kg)
t	อัตราการไหล (kg/s)
P	ความดัน (kPa)
Q	อัตราความร้อน (kW)
T	อุณหภูมิ (°C)
v	ปริมาณจำเพาะ (m^3/kg)
W	กำลังงาน (kW)

ตัวกรีก

η	ประสิทธิภาพ (%)
ตัวห้ออย	
A	การดูดกลืน
AB	ระบบทำความเย็นแบบดูดกลืน
B	หม้อน้ำ
C	คอนเดนเซอร์
CW	น้ำหล่อเย็น
e	ไฟฟ้า
E	เครื่องระเหย
G	เจนเนอเรเตอร์
HW	น้ำร้อน
HX	อุปกรณ์แลกเปลี่ยนความร้อน
H	สูง
i	ทางเข้า
L	ต่ำ
o	ทางออก
ORC	วัฏจักรแรงดันสารอินทรีย์
P	ปั๊มสารทำงาน
ref	สารทำงาน
SP	ปั๊มสารละลาย
Tur	กังหัน

